

Silk Sericin의 Cu(II)이온의 吸着

曹鍾守·金泰年·金載完·李洸振·金在汝

全南大學校 工科大學 化工科

(1981년 4월 6일 접수)

(Adsorption of Cu(II) ion on Silk Sericin)

Chong-Su Cho, Tae-Nyun Kim, Jae-Wan Kim,
Kwang-Jin Lee and Jai-Moon Kim

Department of Chemical Engineering, College of Engineering, Chonnam National University, Kwang-ju 500, Korea.

(Received April 6, 1981)

要約: Silk Sericin에 Cu(II)이온의 吸着과 吸着된 sericin의 物性을 檢討하였다.

酸性領域인 pH 5부근까지에서는 pH가 增加함에 따라서 Cu(II)이온의 吸着量은 增加하였고 이때 吸着 site는 아미노酸의 末端基로 생각되며, 알칼리領域인 pH 10~11.3부근에서는 酸性領域보다 吸着量이 많은데 이것은 이때 吸着 site인 아미노酸의 main-chain의 NH에 吸着되기 때문이라고 생각된다. pH 4.5에서 初期吸着速度는 處理溫度가 높을수록 增加하였고 이때의 活性化에너지는 約 9 Kcal/M이었다. Cu(II)이온을 吸着함으로 인하여 sericin의 热分解는 촉진되었고 그때의 sericin의 morphology는 compact한 形態로 變化를 알 수 있었다.

Abstract: The adsorption of Cu(II) on silk sericin and the physical properties of the adsorbed sericin were investigated.

In the acidic region (pH 2.5~5), the amounts of adsorption of Cu(II) on sericin increased according to the increase of pH values. In the alkaline region (pH 10~11.3), the amounts of adsorption of Cu(II) on sericin were larger than that of acidic region.

It could be said that adsorption sites of Cu(II) were side chains of amino acids in the acidic region, while in the alkaline region those of Cu(II) were main chains of amino acids. At pH 4.5 the initial adsorption rates of Cu(II) on sericin increased according to the increase of treatment temperature, at that time, the activation energy of initial diffusion was about 9Kcal/M.

By adsorbing Cu(II) ion, the thermal degradation of sericin was accelerated and the morphology of that changed into compact form.

1. 序論

갈수록 環境汚染의 問題가 심각해지고 있다.

그 중에서 물의 汚染은 우리 日常生活과 密接한 關係가 있는 것으로, 이것을 解決하기 위하여 活性炭의 利用^{1,2}나 機能性高分子의 活用^{3~5}등으로

Silk Sericin의 Cu(II)이온의 吸着

廢水의 處理에 많은 研究가 行해지고 있다. 특히 요즈음에는 天然에 存在하는 天然高分子를 利用하여 廉價 中의 色⁶이나 金屬이온⁷을 分離하려는 研究가 活發히 진행되고 있다.

本研究에서는 天然高分子인 silk sericin이 製絲工程에서 廉價物로 處理되고 있는 실정인데 이 sericin은 serine, aspartic acid, glycine, glutamic acid, lysine, arginine等의 아미노酸이 主成分으로 되어있어 이들 成分 속에는 作用基로서 $-COOH$, $-OH$, $-NH_2$ 等을 가지고 있어 水溶液上에서 金屬이온을 分離할 수 있으리라 기대되어 우선 Cu(II)이온의 吸着에 관하여 檢討를 하였다.

2. 實驗

2-1. 材料 및 試藥

Sericin의 抽出은 絹層을 $5 \times 5\text{mm}$ 크기로 썰은 후 둥근바닥 플라스크에서 50倍 가량의 이온交換水를 넣고 80°C 에서 48시간 삶는다. 이液을 濾過한 후 濾液을 -20°C 에서 15시간 이상 ageing시킨 후에 메탄올로 沈澱分離한 후 真空乾燥하여 sericin을 抽出하였다.

試藥은 市販特級品을 그대로 사용하였다.

물은 蒸溜水를 이온交換(比抵抗 $10^6\Omega\text{cm}$ 以上)하여 사용하였다.

2-2. 實驗方法

2-2-1. Cu(II)의 吸着方法

pH 2~5사이의 領域에서 2-1에서 얻어진 sericin 0.25g을 取하여 50cc의 三角플라스크 속에 35cc의 물과 함께 넣어 密閉한 후에 30°C 에서 48시간 放置하여 충분히 膨潤시킨 후에 所定의 pH에서 Cu(II)이온을 添加하여 30°C 에서 24時間 吸着시켰다.

pH 10~11.4사이의 領域에서는 Cu(II) ammine水溶液을 만들어 pH 2~5사이의 同一한 方法으로 吸着을 시켰다. pH 2~5사이에서는 sericin이 不溶性으로 不均一系反應이었으나 pH 10~11.4사이에서는 sericin이 溶解가 된 均一系反應이었다.

Cu(II)의 吸着量은 pH 2~5사이에서 處理된

試料를 2번 洗滌 후 乾燥하였으며 pH 10~11.4 사이에서는 濃縮乾燥된 試料를 2번 洗滌 후 乾燥하였다.

乾燥後에 一定量을 試驗管에 取해 진한黃酸 5cc를 넣어 80°C 에서 黑化될 때까지 加熱하였다. 冷却後 發煙窒酸 2cc를 넣어 有機物이 完全히 分解될 때까지 加熱하였다. 分解된 試料는 純水로 稀釋하여 Hitachi製 原子吸光分光光度計 170-30型으로 吸着量을 測定하였다.

2-2-2. 可視分光光度計의 測定

2-2-1의 pH 10.0~11.4領域에서 處理된 水溶液의 可視吸光 spectrum을 400nm에서 700nm까지 Varian製 Super Scan-3型을 사용하여 測定하였다.

2-2-3. TGA와 DTA의 測定

2-2-1에서 處理된 試料를 Rigaku Thermoflex

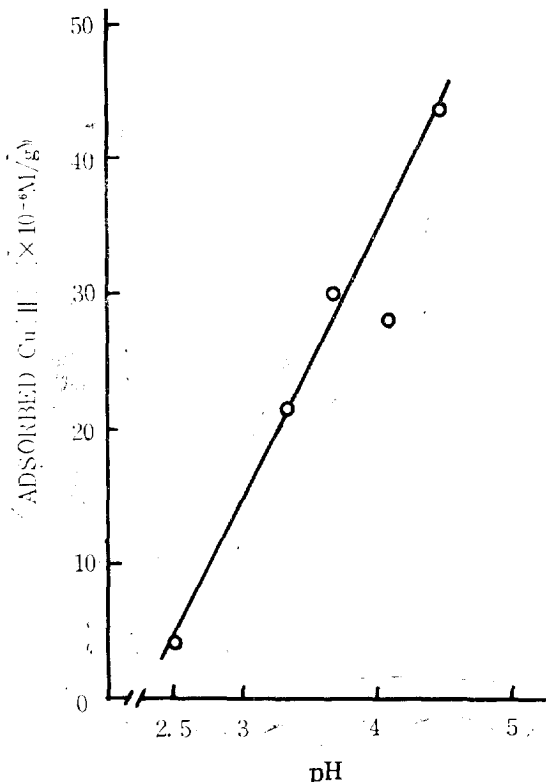


Figure 1. Relation between adsorbed amounts of Cu(II) ion on silk sericin and pH(at acidic region).

型으로 공기중에서 10K/min.의 升温速度로 TGA 와 DTA를 测定하였다.

2-2-4. scanning electron microscope(SEM) 의 觀察

2-2-1에서 處理된 試料를 JSM-35C型으로 sericin의 morphology를 관찰하였다.

3. 結果 및 考察

3-1. pH와 吸着量과의 關係

Fig. 1은 酸性領域에서 pH와 吸着量의 관계를 plot한 것으로서 pH가 上昇할수록 吸着量도 增加함을 알 수가 있었다.

이때의 吸着 site로서는 sericin의 等電點인 pH 4부근까지에서는 主로 末端 carboxylate group이 되고 이것보다 높은 pH領域에서는 carboxylate group의에 末端 amino group과 imino group等도 吸着 site가 되어 pH가 上昇함에 따라서 吸着量이增加된다고 생각된다⁸.

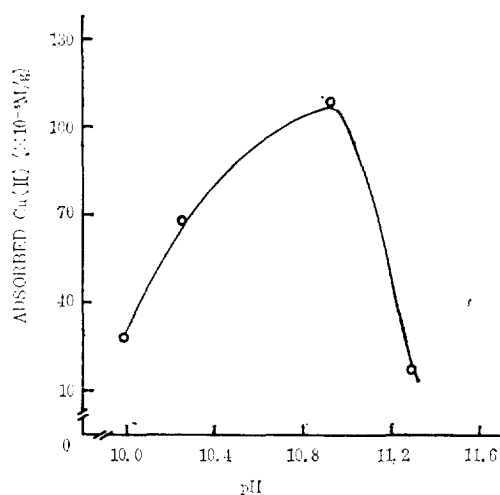


Figure 2. Relation between adsorbed amounts of Cu(II)ion on silk sericin and pH(at alkaline region).

Fig. 2는 알칼리領域에서의 pH와 吸着量의 관계를 plot한 것으로서 酸性領域에서 보다 많은 吸着量을 나타냈는데 이때의 吸着 site는 酸性側의 末端 解離基와는 달리 sericin의 갖고 있는 peptide

의 main chain의 NH基에 主로 Cu(II)이 온이 配位⁹되기 때문이라고 생각된다. pH 10에서 pH 10.9까지에서는 pH가 上昇함에 따라서 吸着量이 增加하다가 pH가 11.3 부근부터는 다시 吸着量이 減少되는 경향을 볼 수 있었는데, Cu(II) ammino錯物은 pH이 온濃度에 따라서 그의 組成이 달라져¹⁰ pH에 따라 吸着量에 差異가 있다고 생각되며 pH가 11.3과 같은 높은 領域에서는 $[\text{Cu}(\text{NH}_3)_4]^{2+}$ 의 生成으로 安定化되어 sericin分子와 配位子交換反應이 일어나기 어렵기 때문에 吸着量이 減少되었다고 생각된다¹¹.

3-2. Cu(II)이온 濃度에 따른 吸着量의 關係

Fig. 3은 Cu(II)이온 濃度에 따른 吸着量의 관계를 나타낸 것으로서 Cu(II)이온 濃度가 增加할수록 吸着量도 增加하였으나 10^{-2}M 이 상에서는 吸着이 거의 平衡에 到達된다고 생각된다.

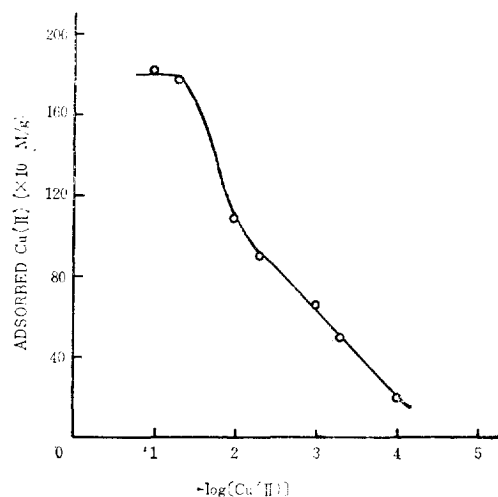


Figure 3. Relation between adsorbed amounts of Cu(II)ion on silk sericin and Cu(II) concentrations at pH 4.0 in 24 hrs at 30°C.

3-3. 吸着의 初速度와 活性化에너지

Cu(II)이온 濃度를 $1.2 \times 10^{-2}\text{M}$, pH 4.5으로 하여 20, 40, 60, 80°C에 있어서 sericin에 對한 Cu(II)의 吸着量을 2, 4, 6, 8, 10分마다 測定하여 吸着의 初速度를 나타낸 것이 Table I로서 處理溫度가 높을수록 初期吸着速度는 增加하였

Silk Sericin의 Cu(II) 이온의 吸着

Table I. Initial adsorption rates of Cu(II) on silk sericin.

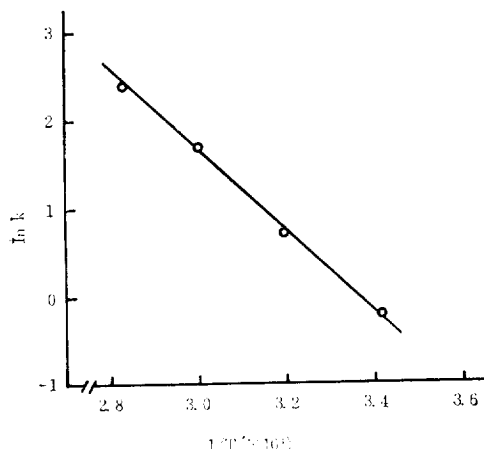


Figure 4. Plots of $\ln k$ versus $1/T$ for the adsorbed amounts of Cu(II) ion on silk sericin.

| Temperature (°C) | $Cu(II)$ ($10^{-6} M \cdot g^{-1} \cdot min^{-1}$) |
|---------------------|---|
| 20 | 0.87 |
| 40 | 2.05 |
| 60 | 5.51 |
| 80 | 11.18 |

다.

Table I에서 나타낸 吸着初速度를 Arrhenius polt한 것이 Fig. 4로서 여기서 初期吸着에 있어서擴散의 活性化에너지 를 求해 約 9Kcal/M을 알 수 있었다. 이 값은 wool에 對한 Hg(II)吸着의 活性化에너지 값¹²과 silk fibroin섬유의 Cu(II)吸着의 活性化에너지 값⁸과 거의 같음을 알 수 있었다.

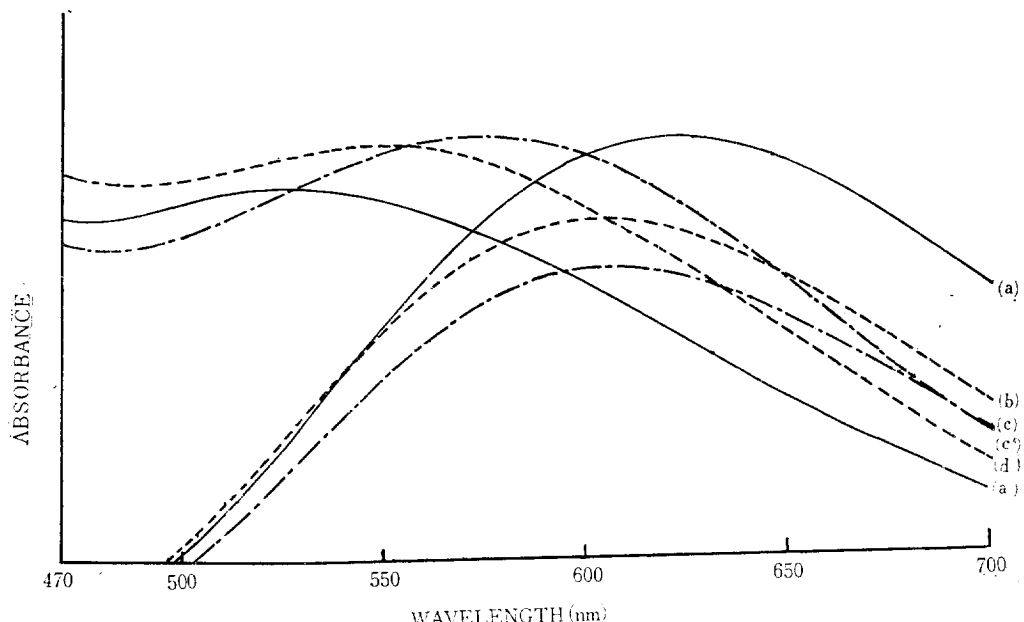


Figure 5. Visible spectra of Cu(II) ammine complex aqueous solutions and sericin/Cu(II) ammine complex aqueous solutions.

(a) — Cu(II) (pH 11.3), (b) Cu(II) (pH 10.5), (c) —·— Cu(II) (pH 10.0), (a') — sericin/Cu(II) (pH 11.3), (b') sericin/Cu(II) (pH 10.5), (c') —·— sericin/Cu(II) (pH 10.0)

3-4. sericin과 Cu(II) ammine錯物水溶液의 可視分光光度計의 測定

Fig. 5는 sericin과 Cu(II) ammine錯物水溶液

의 visible spectra를 나타낸 것으로서 pH 10.0, 10.5, 11.3에서 모두가 sericin과 Cu(II) ammine錯物의 最大吸收波長이 Cu(II) ammine單獨의 경우보다 blue shift를 나타내고 있는데 이것은

水溶液에서 sericin과 Cu(II) ammine錯物形成으로 인하여 blue shift되었다고 생각된다.

3-5. Cu(II)이온을 吸着한 sericin의 热分析

Fig. 6은 Cu(II)이온을 吸着한 sericin의 TGA曲線으로, 그림에서 나타낸 바와 같이 Cu(II)이온이 吸着됨으로 인하여 sericin自體의 곡선보다 더욱 重量減少가 促進됨을 알 수 있었다.

Fig. 7은 Cu(II)이온을 吸着한 sericin의 DTA曲線을 나타낸 것으로, 80°C부근의 自由水의 離

Table II. Temperature of endo. peaks of silk sericin according to the amounts of adsorption of Cu(II)ion.

| Sample | Amounts of adsorption ($10^{-6}M/g$) | Temperature of peaks (°C) | |
|----------------|--|---------------------------|-----|
| | | II | III |
| sericin | — | 230 | 312 |
| sericin-Cu(II) | 9.8 | 227 | 304 |
| sericin-Cu(II) | 34.6 | 223 | 299 |
| sericin-Cu(II) | 55.1 | 217 | 288 |
| sericin-Cu(II) | 66.1 | 216 | 284 |

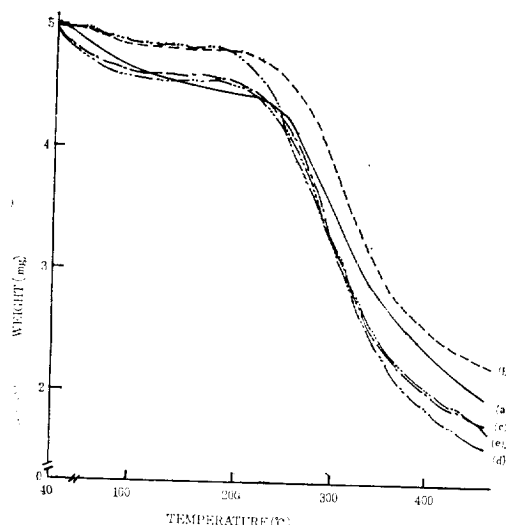


Figure 6. Thermal gravimetric curves of sericin treated with Cu(II) ion. (a)—sericin, (b).....sericin/Cu(II) (adsorbed amounts of Cu(II)ion $66.1 \times 10^{-6}M/g$), (c)....sericin/Cu(II) ($55.1 \times 10^{-6}M/g$), (d)....sericin/Cu(II) ($34.6 \times 10^{-6}M/g$), (e)....sericin/Cu(II) ($9.8 \times 10^{-6}M/g$)

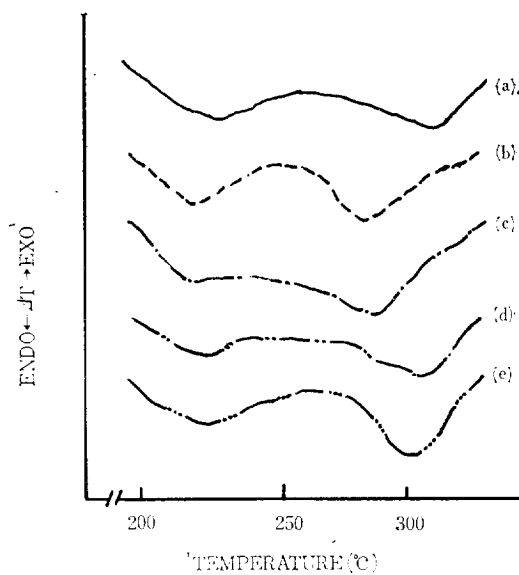


Figure 7. DTA curves of silk sericin treated with Cu(II)ion. "(a),(b),(c),(d)" and "(e)" see caption Fig. 6.

脫로 인한 第1吸熱 peak는 省略하였고 第2, 第3吸熱 peak만을 나타낸 것으로 第2吸熱 peak는 220°C 부근이고, 第3吸熱 peak는 300°C부근으로서 이것을 Table II에 表示하였다. 이 表에서 나타내는 바와 같이 Cu(II)이온의 吸着量이 增加할 수록 分解溫度는 낮아지는 傾向을 볼 수 있는데 이것은 sericin에 吸着된 Cu(II)이온이 sericin의 热分解를 促進시키기 때문이라고 생각된다.

3-6. Cu(II)이온을 吸着한 sericin의 morphology의 觀察

Fig. 8은 Cu(II)이온을 吸着한 sericin을 scanning electron microscope(SEM)으로써 觀察한 사진으로 Cu(II)이온을 吸着함으로 인하여 sericin의 morphology가 變하고, Cu(II)이온의 吸着量이 增加함에 따라서 sericin의 形狀은 compact한 形態로 本身을 알 수 있었다.

『本研究는 1980年度 문교부 학술연구 조성비로 수행된 것으로 문교부 당국에 사의를 표합니다』

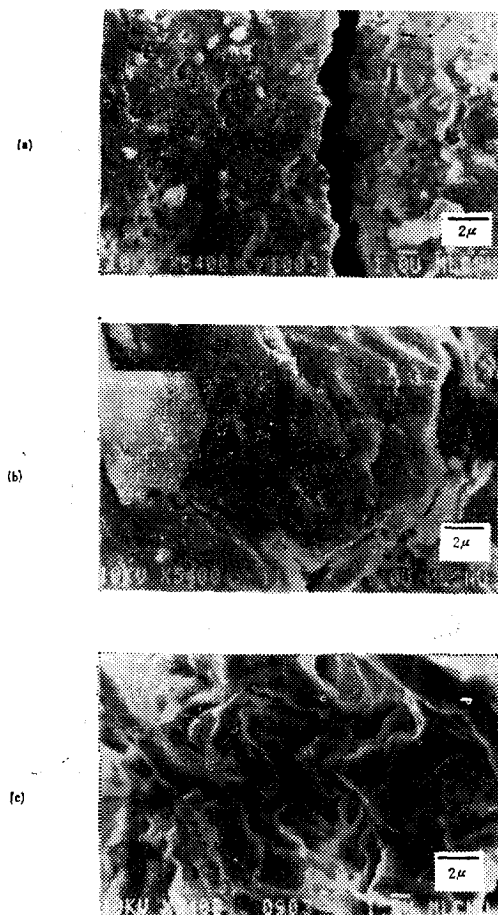


Figure 8. Electron micrographs of sericin and sericin treated with Cu(II)ion (a) sericin, (b) sericin/Cu(II) (adsorbed amounts of Cu(II)ion 9.8×10^{-4} M/g) and (c) sericin/Cu(II) (34.6×10^{-4} M/g), taken by a scanning electron microscope.

参考文献

1. 浦野絢平, 古屋富明, 日化, 921(1975)
2. E. Blasius and B. Brogio, *Chelates Anal. Chem.*, **1**, 49(1967)
3. D. Otterbach, G. Schenk and W. Velter, *Angew. Chem.*, **76**, 76(1964)
4. E. Bayer and H. Fielder, *Angew. Chem.*, **72**, 921(1960)
5. L. J. Guilbault, M. Murano and H. J. Harwood, *J. Makromol. Sci.-Chem.*, **A-7**, 1065 (1973)
6. M. Kimura and I. Kawamura, *Sen-I Gakkaishi*(日), **35**, 530 (1979)
7. Chem. Eng. News, 83(1979)
8. F. Shimizu, K. Jyoko, I. Sakaguchi and T. Iijima, *Sen-I Gakkaishi*(日), **32**, 166(1975)
9. 北條舒正, 白井汪芳, 高山公子, 大和公子, 工化(日), **72**, 470(1969)
10. J. Bjerrum "Metal Ammine Formation in Aqueous Solution" Hoose, Copenhagen, 97 (1941)
11. 加藤, 小室, 曾根, 日化, **76**, 1034(1955)
12. 北條舒正, 織學誌(日), **15**, 197(1959)